

บทที่ 2

หลักการและทฤษฎีที่เกี่ยวข้อง

ในบทนี้จะกล่าวถึงหลักการและทฤษฎีที่เกี่ยวข้องกับงานวิจัยนี้ โดยจะกล่าวถึงการวิเคราะห์โครงสร้างคอนกรีตเสริมเหล็กภายใต้แผ่นดินไหว, หลักการวิเคราะห์โครงสร้างภายใต้แรงผลักด้านข้าง, แบบจำลองที่ใช้ในการวิเคราะห์พุติกกรรมของอาคารคอนกรีตเสริมเหล็ก และ การวิเคราะห์ความเสียหายและความต้านทานของหน้าตัดคอนกรีตเสริมเหล็ก ซึ่งพิจารณาในรูปความสัมพันธ์ระหว่างโมเมนต์ดัดและความโค้ง

2.1 หลักการวิเคราะห์โครงสร้างภายใต้แผ่นดินไหว

2.1.1 สมการการเคลื่อนที่ของโครงสร้างภายใต้แผ่นดินไหว

ในการวิเคราะห์โครงสร้างในเชิงพลศาสตร์ของระบบที่มีระดับขั้นเรียบเดียว ดังแสดงในรูปที่ 2.1 จะประกอบด้วยมวลของโครงสร้าง m , ติดฟเนส k , และตัวหน่วงของโครงสร้างซึ่งมีค่าสัมประสิทธิ์ของความหน่วงเท่ากับ c และภายในของระบบประกอบด้วย แรงเฉื่อย (inertia force, $f_I = m\ddot{u}$) และเนื่องจากการเคลื่อนที่ของชิ้นส่วนโครงสร้าง (restoring force, f_s) และแรงหน่วง (damping force, $f_D = cu$) จากรูปที่ 2.1 สามารถเขียนสมการสมดุลได้เป็น

$$f_I + f_D + f_s = p(t) \quad (2.1)$$

โดยที่

$p(t)$ เป็นแรงภายนอกที่มีค่าเปลี่ยนแปลงตามเวลา

\ddot{u}, \dot{u} และ u เป็นความเร่ง ความเร็ว และการเปลี่ยนตำแหน่งของโครงสร้างตามลำดับ

สำหรับโครงสร้างที่มีพุติกรวมในช่วงอิลาสติกเชิงเส้น (linear elastic) ความสัมพันธ์ระหว่างแรงเนื่องจากสติฟเนสกับการเปลี่ยนตำแหน่งจะเป็นเส้นตรงตามกฎของฮุค (Hooke's law) เขียนได้เป็น

$$f_s = ku \quad (2.2)$$

สำหรับโครงสร้างที่มีพุติกรวมในช่วงอิลาสติก ความสัมพันธ์ระหว่างแรงเนื่องจากสติฟเนสกับการเปลี่ยนตำแหน่งจะไม่เป็นแบบเชิงเส้น แต่จะขึ้นกับค่าการเปลี่ยนตำแหน่งและการ

เปลี่ยนแปลงของการเปลี่ยนตำแหน่งเขียนได้เป็น

$$f_s = f_s(u, \dot{u}) \quad (2.3)$$

สามารถเขียนสมการการเคลื่อนที่ (equation of motion) ได้เป็น

$$m\ddot{u} + c\dot{u} + f_s = p(t) \quad (2.4)$$

โดยที่

$f_s = ku$ สำหรับโครงสร้างที่มีพุติกรรมช่วงอิลาสติกเชิงเส้น

$f_s = f_s(u, \dot{u})$ สำหรับโครงสร้างที่มีพุติกรรมช่วงอ่อนอิลาสติก

การวิเคราะห์โครงสร้างภายใต้แรงกระทำเนื่องจากแผ่นดินไหว เมื่อกิจการเคลื่อนที่ที่ฐานของโครงสร้าง ถ้าให้ u' เป็นการเคลื่อนที่ทั้งหมดของโครงสร้าง u_g เป็นการเคลื่อนที่ของพื้นดิน และ u เป็นการเคลื่อนที่สัมพัทธ์ของโครงสร้างกับพื้นดิน แสดงดังรูปที่ 2.2 สามารถเขียนสมการความสัมพันธ์ได้เป็น

$$u'(t) = u(t) + u_g(t) \quad (2.5)$$

จากสมการ (2.4) เมื่อแรงภายนอกมีค่าเท่ากับศูนย์ และ $f_I = m\ddot{u}'$ สามารถเขียนสมการการเคลื่อนที่ (equation of motion) ได้เป็น

$$m\ddot{u} + c\dot{u} + f_s = -m\ddot{u}_g(t) \quad (2.6)$$

โดยที่

$f_s = ku$ สำหรับโครงสร้างที่มีพุติกรรมช่วงอิลาสติกเชิงเส้น

$f_s = f_s(u, \dot{u})$ สำหรับโครงสร้างที่มีพุติกรรมช่วงอ่อนอิลาสติก

สำหรับการวิเคราะห์โครงสร้างในเชิงพลศาสตร์ของระบบที่มีระดับขั้นความเสี่ยงหลายขั้น สามารถเขียนอยู่ในรูปของสมการเชิงอนุพันธ์อันดับสองได้ดังสมการ

$$[M]\{\ddot{u}\} + [C]\{\dot{u}\} + [K_t]\{u\} = P(t) \quad (2.7)$$

โดยที่

$[M]$ เป็นเมตริกซ์ของมวล

$[C]$ เป็นเมตริกซ์ของค่าคงตัวการหน่วง

$[K_t]$ เป็นเมตริกซ์สติฟเนสของโครงสร้างที่รวมสติฟเนสเมทริกซ์ของชิ้นส่วนอยู่โดยในงานวิจัยนี้จะได้จากการวิเคราะห์โดยใช้แบบจำลองไฟเบอร์

$P(t)$ เป็นเวคเตอร์ของแรงกระทำภายในอก

$\{u\}, \{\dot{u}\}, \{\ddot{u}\}$ เป็นเวคเตอร์ของการเคลื่อนที่ ความเร็ว และ ความเร่งสัมพัทธ์

สำหรับเมตริกซ์ของค่าคงตัวการหน่วง $[C]$ ถ้าสมมติให้เมตริกซ์ของค่าคงตัวการหน่วงเป็นสัดส่วน กับเมตริกซ์ของมวลหรือสติฟเนส หรือเป็นสัดส่วนกับผลรวมเชิงเส้นของเมตริกซ์มวลและสติฟเนส จะเรียกเมตริกซ์นี้ว่าเมตริกซ์การหน่วงสัดส่วน (Rayleigh damping matrix) ดังนั้น

$$[C] = \alpha[m] + \beta[k] \quad (2.8)$$

เมื่อ $\alpha = \frac{4\pi f_1 f_2 (f_1 h_2 - f_2 h_1)}{f_1^2 - f_2^2} \quad (2.9)$

$$\beta = \frac{f_1 h_1 - f_2 h_2}{\pi (f_1^2 - f_2^2)} \quad (2.10)$$

f_1 เป็นความถี่ในโหมดการสั่นที่ 1 สำหรับการสร้างเมตริกซ์การหน่วงสัดส่วน

f_2 เป็นความถี่ในโหมดการสั่นที่ 2 สำหรับการสร้างเมตริกซ์การหน่วงสัดส่วน

h_1 เป็นอัตราส่วนความหน่วง (damping ratio) ในโหมดการสั่นที่ 1

h_2 เป็นอัตราส่วนความหน่วง (damping ratio) ในโหมดการสั่นที่ 2

2.1.2 การหาการตอบสนองของโครงสร้างโดยวิธีอินทิเกรทเชิงตัวเลข

การหาการตอบสนองของโครงสร้างพลศาสตร์ของระบบที่มีลักษณะเชิงเส้นและไม่เชิงเส้น มีด้วยกันหลายวิธี การอินทิเกรทเชิงตัวเลข หรือ การอินทิเกรทโดยตรง (Direct integration) เป็นอีกวิธีหนึ่งที่มีประสิทธิภาพ ให้ความแม่นยำสูง และเป็นวิธีที่นิยมใช้ ในการวิเคราะห์จะมีหลักการที่ใช้ในการวิเคราะห์ที่น่าสนใจอยู่ 2 วิธี

1. วิธีค่าความเร่งแบบผันแปรเชิงเส้น (Linear acceleration method)

สำหรับวิธีการนี้จะกำหนดให้ความเร่งมีความสัมพันธ์แบบเชิงเส้นกับเวลาไดๆ ในช่วงเวลา Δt โดยกำหนดให้ t_i และ $t_i + \Delta t$ คือเวลาเริ่มต้นและเวลาสุดท้ายในช่วงเวลา Δt จากรูปที่ 2.3 สามารถเขียนสมการความสัมพันธ์ของความเร่งได้ดังนี้

$$\ddot{u}(t) = \ddot{u}_i + \frac{\Delta \ddot{u}_i}{\Delta t} (t - t_i) \quad (2.11)$$

โดยค่า $\Delta \ddot{u}$ หาได้จากสมการ

$$m\Delta \ddot{u}_i + c_i \Delta \dot{u}_i + k_i \Delta u_i = \Delta F_i \quad (2.12)$$

เมื่อทำการอนทิกรทสมการที่ 2.11 ในช่วง t_i และ t

$$\dot{u}(t) = \dot{u}_i + \ddot{u}_i(t - t_i) + \frac{1}{2} \frac{\Delta \ddot{u}_i}{\Delta t} (t - t_i)^2 \quad (2.13)$$

และ

$$u(t) = u_i + \dot{u}_i(t - t_i) + \frac{1}{2} \ddot{u}_i(t - t_i)^2 + \frac{1}{6} \frac{\Delta \ddot{u}_i}{\Delta t} (t - t_i)^3 \quad (2.14)$$

จากสมการที่ 2.13 และ 2.14 เมื่อแทนเวลา $t = t_i + \Delta t$ จะได้

$$\Delta \dot{u}_i = \ddot{u}_i \Delta t + \frac{1}{2} \Delta \ddot{u}_i \Delta t \quad (2.15)$$

และ

$$\Delta u_i = \dot{u}_i \Delta t + \frac{1}{2} \ddot{u}_i \Delta t^2 + \frac{1}{6} \Delta \ddot{u}_i \Delta t^2 \quad (2.16)$$

จากสมการที่ 2.16 จะได้

$$\Delta \ddot{u}_i = 6 \frac{\Delta u_i}{\Delta t^2} - 6 \frac{\dot{u}_i}{\Delta t} - 3 \ddot{u}_i \quad (2.17)$$

เมื่อแทนสมการที่ 2.17 ใน 2.15 จะได้

$$\Delta \dot{u}_i = 3 \frac{\Delta u_i}{\Delta t} - 3 \dot{u}_i - \frac{\Delta t}{2} \ddot{u}_i \quad (2.18)$$

แทนค่าสมการที่ 2.17 และ 2.18 ในสมการการเคลื่อนที่ และจัดให้อยู่ในเทอม

$$\bar{k}_i \Delta u_i = \Delta \bar{F}_i \quad (2.19)$$

โดยที่

$$\bar{k}_i = k_i + \frac{6m}{\Delta t^2} + \frac{3c_i}{\Delta t} \quad (2.20)$$

$$\Delta \bar{F}_i = \Delta F_i + m \left\{ \frac{6\dot{u}_i}{\Delta t} + 3\ddot{u}_i \right\} + c_i \left\{ 3u_i + \frac{\Delta t}{2} \ddot{u}_i \right\} \quad (2.21)$$

จากสมการที่ 2.19 สามารถหาการกระจัดที่เปลี่ยนไปในช่วงเวลา Δt ได้ดังนี้

$$\Delta u_i = \frac{\Delta \bar{F}_i}{\bar{k}_i} \quad (2.22)$$

และการกระจัด, ความเร็ว และความเร่ง ที่ช่วงเวลาถัดไปได้จาก

$$u_{i+1} = u_i + \Delta u_i$$

$$\begin{aligned}\dot{u}_{i+1} &= \dot{u}_i + \Delta \dot{u}_i \\ \ddot{u}_{i+1} &= \ddot{u}_i + \Delta \ddot{u}_i\end{aligned}\quad (2.23)$$

2. วิธีค่าความเร่งคงที่ (Constant acceleration method)

สำหรับวิธีนี้ จะกำหนดให้ความเร่งมีค่าคงที่ตลอดช่วงเวลา Δt ที่เพิ่มขึ้น t_i และ t_{i+1} คือเวลาเริ่มต้นและเวลาสุดท้าย ความเร่งเฉลี่ยในช่วงเวลาจาก t_i ถึง t_{i+1} จากรูปที่ 2.4 สามารถเขียนสมการความสัมพันธ์ของความเร่งได้ดังนี้

$$\ddot{u}(\tau) = \frac{1}{2}(\ddot{u}_i + \ddot{u}_{i+1}) \quad (2.24)$$

โดย τ คือเวลาใดๆ ในช่วง t_i และ t_{i+1}

เมื่อทำการอนทิกรทสมการที่ 2.24 จะได้

$$\dot{u}_{i+1} = \dot{u}_i + \left(\frac{\Delta t_i}{2} \right) (\ddot{x}_i + \ddot{x}_{i+1}) \quad (2.25)$$

และ

$$u_{i+1} = u_i + \dot{u}_i (\Delta t_i) + \left(\frac{\Delta t_i^2}{4} \right) (\ddot{u}_i + \ddot{u}_{i+1}) \quad (2.26)$$

ถ้าให้ส่วนที่เพิ่มขึ้นคือ Δ ดังนั้น

$$\Delta \ddot{u}_i = \ddot{u}_{i+1} - \ddot{u}_i, \quad \Delta u_i = u_{i+1} - u_i, \quad \Delta \dot{u}_i = \dot{u}_{i+1} - \dot{u}_i$$

ดังนั้นสมการที่ 2.25 และ 2.26 เขียนในเทอม $\Delta \ddot{u}_i$ ได้ดังนี้

$$\Delta \ddot{u}_i = \left(\frac{4}{\Delta t_i^2} \right) (\Delta u_i - \dot{u}_i \Delta t_i) - 2 \ddot{u}_i \quad (2.27)$$

และ

$$\Delta \dot{u}_i = (2 / \Delta t_i) \Delta u_i - 2 \dot{u}_i \quad (2.28)$$

แทนค่าสมการที่ 2.27 และ 2.28 ในสมการการเคลื่อนที่ และจัดให้อยู่ในเทอม

$$\bar{k}_i \Delta u_i = \Delta \bar{F}_i \quad (2.29)$$

โดยที่

$$\bar{k}_i = k_i + \frac{2c}{\Delta t_i} + \frac{4m}{\Delta t_i^2} \quad (2.30)$$

และ

$$\Delta \bar{F}_i = \Delta F_i + \left\{ \frac{4m}{\Delta t_i} + 2c \right\} \dot{u}_i + 2m\ddot{u}_i \quad (2.31)$$

และการวิเคราะห์ ความเร็ว และความเร่ง ที่ซึ่งเวลาถัดไปได้จาก

$$\begin{aligned} u_{i+1} &= u_i + \Delta u_i \\ \dot{u}_{i+1} &= \dot{u}_i + \Delta \dot{u}_i \\ \ddot{u}_{i+1} &= \ddot{u}_i + \Delta \ddot{u}_i \end{aligned} \quad (2.32)$$

ในการแก้ปัญหาของโปรแกรมคอมพิวเตอร์ด้วยการอินทิเกรทเชิงตัวเลข หรือการอินทิเกรทโดยตรงจะนิยมใช้วิธีการของนิวมาრ์คแบบเบตา (Newmark-beta) ซึ่งพัฒนาโดย Newmark (1959) ถ้ากำหนดให้ความเร่งและความเร็วที่เวลา $t + \Delta t$ เท่ากับ

$$\Delta \dot{u}_i = \left[1 - \frac{\gamma}{2\beta} \right] \ddot{u}_i \Delta t - \frac{\gamma}{\beta} \dot{u}_i + \frac{\gamma}{\beta \Delta t} \Delta u_i \quad (2.33g)$$

$$\Delta \ddot{u}_i = \frac{1}{\gamma \Delta t} \Delta \dot{u}_i - \frac{1}{\gamma} \ddot{u}_i \quad (2.33h)$$

ถ้าเลือก $\gamma = 1/2$ และ $\beta = 1/6$ สมการที่ 2.33g และ 2.33h จะลดรูปเป็นการอินทิเกรทเชิงตัวเลขด้วยวิธีความเร่งแปรผันแบบเชิงเส้น (linear acceleration method) และถ้าเลือก $\gamma = 1/2$ และ $\beta = 1/4$ การอินทิเกรทเชิงตัวเลขจะเป็นวิธีความเร่งคงที่ (constant acceleration method) ตามที่ได้กล่าวมาแล้วในหัวข้อที่ 2.1.2

สำหรับการแก้ปัญหาสมการสมดุลแบบไม่เชิงเส้นจะใช้วิธีการวนซ้ำแบบนิวตัน-ราฟสัน (Newton-Raphson iteration) ในวิธีการนี้การเคลื่อนที่ที่สอดคล้องกับเงื่อนไขสมดุล ณ เวลา $t + \Delta t$ สามารถหาได้จากสมการที่ใช้ประมาณค่าดังนี้

$$\left[\bar{k}_i \right]_{t+\Delta t}^{i-1} \{ \Delta u_i \}^i = \{ R_i \}_{t+\Delta t} - \{ R'_i \}_{t+\Delta t}^{i-1} \quad (2.34)$$

โดยที่

$\left[\bar{k}_i \right]_{t+\Delta t}^{i-1}$ เป็นเมตริกซ์สติฟเนสสมผัสที่รอบของการแทนค่าวนซ้ำที่ $i-1$

$\{ \Delta u_i \}^i$ เป็นเวกเตอร์ของการเคลื่อนที่ที่เพิ่มขึ้นที่รอบของการแทนค่าวนซ้ำที่ i

$\{ R_i \}_{t+\Delta t}$ เป็นเวกเตอร์ของแรงกระทำภายนอก

$\{R_i'\}_{i+\Delta t}^{i-1}$ เป็นเวกเตอร์ของแรงกระทำที่สอดคล้องกับหน่วยแรงของชิ้นส่วนที่รوبرอุ่น การแทนค่าวนซ้ำที่ $i-1$

ในวิธีการของการวนซ้ำแบบนิวตัน-رافฟ์สันสติฟเนสเมติกซ์ของแบบจำลองจะถูกปรับค่าทุกรอบของการแทนค่าวนซ้ำ ดังสมการที่ 2.34 ซึ่งทำให้ใช้เวลาในการคำนวณมากและไม่เหมาะสม สำหรับปัญหาบางอย่าง ดังนั้นจึงมีการพัฒนาเป็นแบบการวนซ้ำแบบนิวตัน – رافฟ์สันที่ได้ปรับปรุง (modified Newton-Raphson iteration) ขึ้น โดยสติฟเนสเมติกซ์จะถูกปรับค่าทุกรอบของการแทนค่าวนซ้ำที่แน่นอน ซึ่งจะทำให้ได้ผลเฉลยที่ถูกเข้าและใช้เวลาในการคำนวณน้อยกว่า วิธีการคำนวณทั้งสองวิธีสามารถแสดงได้ดังรูปที่ 2.5 แต่สำหรับงานวิจัยนี้เนื่องจากในการวิเคราะห์ได้ใช้แบบจำลองไฟเบอร์ในการจำลองพฤติกรรมไม่เชิงเส้นขององค์ประกอบ ซึ่งเมื่อเกิดความไม่เชิงเส้นในชิ้นส่วนย่อยจำนวนมากจะทำให้คำตอบที่ได้ไม่ถูกเข้า ดังนั้นในการแก้ปัญหาสมการสมดุลแบบไม่เชิงเส้นจะไม่ใช้การแทนค่าวนซ้ำ (no iteration) แต่จะทำการแบ่งช่วงเวลา (time interval) ที่ใช้ในการอินทิเกรทให้ถูก โดยเลือกช่วงเวลาที่มีค่ามากและได้คำตอบที่มีค่าถูกเข้าเหมือนกับช่วงเวลาที่มีค่าน้อย และทำการปรับค่าสติฟเนสเมติกซ์ขึ้นใหม่ทุกรอบของการอินทิเกรท โดยจะนำแรงที่ไม่สมดุล (unbalanced force) ยกไปไว้ในเวลาขั้นถัดไป

2.2 หลักการวิเคราะห์โครงสร้างภายใต้แรงผลักด้านข้าง

2.2.1 การสร้างรูปเมติกซ์สติฟเนสของโครงสร้าง

สำหรับการวิเคราะห์โครงสร้างภายใต้แรงผลักด้านข้างของงานวิจัยนี้ จะใช้โปรแกรม TDAP version3 ใน การวิเคราะห์ โดยจะใช้การวิเคราะห์ด้วยวิธีสติฟเนส (Stiffness method) ซึ่งกำหนดให้การเปลี่ยนตำแหน่งเป็นตัวไม่รู้ค่า และจะต้องคำนวณหามาก่อนแล้วจึงใช้ความสัมพันธ์ระหว่างเมติกซ์สติฟเนสกับการเปลี่ยนตำแหน่งคำนวณหาแรงภายในชิ้นส่วนของโครงสร้างต่อไป สำหรับสมการพื้นฐานที่ใช้ในการคำนวณคือ

$$[K_i]\{\Delta u\} = \{\Delta F\} \quad (2.35)$$

เมื่อ

$[K_i]$ เป็นเมติกซ์สติฟเนสที่แต่ละขณะของระบบโครงสร้างรวม

$\{\Delta u\}$ เป็นเวกเตอร์ของการเปลี่ยนตำแหน่งภายนอกที่แต่ละขณะ

$\{\Delta F\}$ เป็นเวกเตอร์ของแรงกระทำภายนอกที่แต่ละขณะ

ชิ่ง $[K_t]$ คือผลรวมของเมตريกซ์สติฟเนสของขั้นส่วนย่อยหาได้จากแบบจำลองไฟเบอร์ในระบบพิกัดรวม ชิ่งแปลงมาจากระบบพิกัดเฉพาะโดยใช้เมตريกซ์แปลงพิกัด (coordinate transformation matrix)

ดังนั้นเมื่อแรงในระบบพิกัดเฉพาะสามารถแปลงเป็นระบบพิกัดรวมได้ดังสมการ

$$\{\Delta \bar{F}\} = [L] \{\Delta F\} \quad (2.36)$$

$$\{\Delta F\} = [L]^{-1} \{\Delta \bar{F}\} \quad (2.37)$$

ในทำนองเดียวกันการเปลี่ยนตำแหน่ง ก็สามารถแปลงจากระบบพิกัดรวมมาเป็นระบบพิกัดเฉพาะได้เหมือนกับแรง

$$\{\Delta \bar{u}\} = [L] \{\Delta u\} \quad (2.38)$$

เมื่อ

$[L]$ คือ เมตريกซ์แปลงพิกัด

แต่

$$\{\Delta \bar{F}\} = [\bar{K}_t] \{\Delta \bar{u}\} \quad (2.39)$$

ดังนั้น

$$\{\Delta F\} = [L]^T [\bar{K}_t] \{\Delta \bar{u}\} \quad (2.40)$$

$$\{\Delta F\} = [L]^T [\bar{K}_t] [L] \{\Delta u\} \quad (2.41)$$

หรือ

$$\{\Delta F\} = [K_t] \{\Delta u\} \quad (2.42)$$

เมื่อ

$$[K_t] = [L]^T [\bar{K}_t] [L] \quad (2.43)$$

หลังจากที่ได้ค่าเมตريกซ์สติฟเนสของโครงสร้างแล้วก็นำไปวิเคราะห์หากการเคลื่อนที่หรือการเปลี่ยนตำแหน่ง แรงปฏิกิริยา และแรงภายในโครงสร้าง เช่น

การเปลี่ยนตำแหน่ง $\{\Delta u\} = [K_t]^{-1} \{\Delta F\}$ (2.44)

2.2.2 การหาการตอบสนองของโครงสร้างโดยวิธีอินทิเกรทเชิงตัวเลข

สำหรับการแก้ปัญหาของโปรแกรมคอมพิวเตอร์ด้วยการอินทิเกรทเชิงตัวเลข จะใช้วิธีการของนิวมาร์คแบบเบต้าดังที่ได้กล่าวมาแล้วในหัวข้อที่ 2.1.2 แต่สำหรับในการวิเคราะห์ผลักด้านข้างซึ่งเป็นการวิเคราะห์แบบสติต จะไม่พิจารณาผลของความเร็ว, แรงเชื้อย (inertia force)

และแรงหน่วง (damping force) ของโครงสร้าง ดังนั้นจึงทำให้สมการที่ใช้ในการคำนวณคือ สมการที่ 2.35 ซึ่งในการแก้ปัญหาสมการสมดุลแบบไม่เชิงเส้นจะมีลักษณะเช่นเดียวกับการวิเคราะห์เชิงพลศาสตร์คือ จะไม่ใช้การแทนค่าเวนช้าแต่จะทำการแบ่งช่วงเวลาที่ใช้ในการอินทิเกรตให้ถูกต้อง โดยเลือกช่วงเวลาที่มีค่ามากและได้คำตอบที่มีค่าถูกต้องกับช่วงเวลาที่มีค่าน้อย และทำการปรับค่าสติฟเนสเมติกซึ่งใหม่ทุกรอบของการอินทิเกรต โดยจะนำแรงที่ไม่สมดุลยกไปไว้ในเวลาขั้นถัดไป

2.3 แบบจำลองที่ใช้ในการจำลองพฤติกรรมไม่เชิงเส้นของชิ้นส่วนอาคารคอนกรีตเสริมเหล็ก

การวิเคราะห์โครงสร้างที่มีพฤติกรรมแบบไม่เชิงเส้น มีความยุ่งยากและซับซ้อนมากกว่ากรณีโครงสร้างที่มีพฤติกรรมแบบเชิงเส้น เนื่องจากการลดลงของสติฟเนสและกำลังด้านทันทันหน้าตัดที่มีผลมาจากการแรงกระทำที่มีลักษณะกลับไปกลับมา ดังนั้นในการศึกษาเชิงตัวเลขจึงจำเป็นจะต้องมีการจำลองลักษณะต่างๆของชิ้นส่วนอาคาร และสามารถอธิบายพฤติกรรมของชิ้นส่วนอาคารเมื่อมีพฤติกรรมแบบไม่เชิงเส้นได้ สำหรับงานวิจัยนี้ใช้คอมพิวเตอร์โปรแกรม TDAP version 3 ในกรณีโครงสร้างซึ่งเป็นโปรแกรมที่สามารถอธิบายพฤติกรรมของโครงสร้าง ในช่วงยึดหยุ่นทั้งการวิเคราะห์เชิงพลศาสตร์และการวิเคราะห์ผลักด้านซ้ำๆได้ดี และใช้แบบจำลองไฟเบอร์ในการจำลองพฤติกรรมไม่เชิงเส้นขององค์อาคาร ดังนั้นจึงจำเป็นจะต้องศึกษาหลักการและวิธีการวิเคราะห์โดยใช้แบบจำลองไฟเบอร์ในโปรแกรมคอมพิวเตอร์ TDAP version 3

สมมติฐานที่ใช้ในการวิเคราะห์กำหนดให้พื้นของอาคารมีลักษณะแข็งแกร่ง ในการวิเคราะห์โครงสร้างจะถูกจำลองเป็นโครงข้อแข็ง 2 มิติ ที่ไม่คิดผลการบิดของโครงสร้าง และไม่คิดว่ามีการวิบัติเนื่องจากแรงเฉือนเกิดขึ้นในอาคาร และสำหรับสมมติฐานในการวิเคราะห์โดยใช้แบบจำลองไฟเบอร์มีดังนี้

1. ระบบหน้าตัดขององค์อาคารภายหลังการรับแรงดัดยังคงเป็นเส้นตรง (Plane sections remain plain after bending)
2. การเปลี่ยนรูปของชิ้นส่วนอาคารถือว่ามีค่าน้อย สำหรับวัสดุชนิดเดียวกัน และมีคุณสมบัติเหมือนกันตลอดความยาวชิ้นส่วน
3. การเปลี่ยนรูปเนื่องจากแรงเฉือนมีค่าน้อยมากไม่นำมาพิจารณา
4. ไม่คิดกำลังรับแรงดึงของคอนกรีต ภายหลังเกิดการแตกร้าว

2.3.1 การจำลองเสา ,คาน และการสร้างสมการรูปเมตริกซ์สติฟเนสโดยใช้แบบจำลองไฟเบอร์

ชิ้นส่วนของโครงสร้างที่ใช้ในงานวิจัยนี้ได้แก่ เสา และคาน โดยจะแบ่งการจำลองชิ้นส่วนของโครงสร้างออกเป็น 2 ส่วนคือ ส่วนแรกถูกจำลองเป็นชิ้นส่วนย่อย (element) ที่มีพัฒนาระบบที่ช่วงอิเล็กติกเชิงเส้นที่ยังไม่เกิดความเสียหาย และส่วนที่สองถูกจำลองเป็นชิ้นส่วนย่อยที่มีพัฒนาระบบที่ช่วงอินอลิสติกที่จุดหมุนพลาสติก (plastic hinge) หรือบริเวณที่โครงสร้างเกิดความเสียหาย ซึ่งมักจะเกิดขึ้นที่ส่วนบนและส่วนล่างของชิ้นส่วนของโครงสร้าง ดังแสดงในรูปที่ 2.6 เป็นตัวอย่าง ความเสียหายที่เกิดขึ้นที่ส่วนบนของเสาคอนกรีตเสริมเหล็ก ที่เกิดการวิบัติเนื่องจากแรงดึง ซึ่งใน การจำลองพัฒนาระบบที่ช่วงเส้นจะใช้แบบจำลองไฟเบอร์ โดยวิธีแบ่งหน้าตัดคอนกรีตเสริมเหล็ก ออกเป็นไฟเบอร์ย่อย และใช้ความสมมติฐานว่าความเค้นและความเครียดของคอนกรีตที่ไม่มี การขอบรัด (unconfined concrete) คอนกรีตที่มีการขอบรัด (confined concrete) และเหล็กเสริม (reinforcement) ในการคำนวณ

สำหรับชิ้นส่วนย่อยที่ใช้ในการคำนวณซึ่งได้แก่ เสา และคาน จะมีดีกรีความอิสระต่อด้าน เท่ากับ 3 ได้แก่ การเปลี่ยนตำแหน่งในทิศทางตั้งจากกับแกนของชิ้นส่วนหรือการเปลี่ยนตำแหน่ง เนื่องจากการเฉือน, การเปลี่ยนตำแหน่งในทิศทางตามแนวแกนของชิ้นส่วนหรือการเปลี่ยน ตำแหน่งเนื่องจากแรงตามแนวแกน และการหมุนของชิ้นส่วนหรือการเปลี่ยนตำแหน่งเนื่องจากการ ดึง ดังแสดงในรูปที่ 2.7 การวิเคราะห์สามารถทำได้โดยการแบ่งหน้าตัดขององค์อาคารออกเป็นไฟเบอร์ย่อยๆ ดังแสดงในรูปที่ 2.8 จากนั้นกำหนดแกนสะเทินแล้วคำนวณหาค่าความโค้ง (curvature) และความเครียดที่เปลี่ยนไปจากขั้นก่อนหน้านี้ที่จุดกึ่งกลางของหน้าตัดดังสมการ

$$\Delta \varepsilon_c = \frac{\Delta u_j - \Delta u_i}{L} \quad (2.45)$$

$$\Delta \phi = \frac{\Delta \theta_j - \Delta \theta_i}{L} \quad (2.46)$$

โดยที่

$\Delta u_i, \Delta u_j$ เป็นการเปลี่ยนตำแหน่งที่เพิ่มขึ้นที่ปลาย i และ j ตามลำดับ

$\Delta \theta_i, \Delta \theta_j$ เป็นมุมหมุนที่เพิ่มขึ้นที่ปลาย i และ j ตามลำดับ

L เป็นความยาวของชิ้นส่วนย่อย

จากสมมติฐานที่ว่า ระบบหน้าตัดขององค์อาคารยังคงเป็นเส้นตรงภายหลังเกิดการเปลี่ยนรูปและตั้งจากกับแกนตามยาว (longitudinal axis) ขององค์อาคาร ทำให้สามารถหาความเครียดของไฟเบอร์ (fiber strain) ที่เปลี่ยนไปจากขั้นก่อนหน้านี้ที่ตำแหน่งใดๆได้ดังสมการ (รูปที่ 2.9)

$$\Delta \varepsilon_k = \Delta \varepsilon_c - y_k \cdot \Delta \phi \quad (2.47)$$

เมื่อได้ความเครียดที่เปลี่ยนไปจากขันก่อนหน้านี้ในแต่ละไฟเบอร์อยู่ ก็คำนวนหาความเดินของไฟเบอร์ (fiber stress) ที่เปลี่ยนไปจากขันก่อนหน้านี้ จากความสัมพันธ์ระหว่างความเดินและความเครียดของคอนกรีตและเหล็กเสริม จากนั้นแรงตามแนวแกนและโมเมนต์ดัดที่เปลี่ยนไปจากขันก่อนหน้านี้ของหน้าตัดสามารถหาได้จากการอินทิเกรตความเดินที่เปลี่ยนไปจากขันก่อนหน้านี้ของไฟเบอร์อย่างๆไฟเบอร์บนหน้าตัดดังสมการ

$$\Delta N = \int_A \Delta \sigma dA = \sum_{n=1}^k (\Delta \varepsilon_k E_{kt} A_k) = EA_t^* \Delta \varepsilon_c - EG_t^* \Delta \phi \quad (2.48)$$

$$\Delta M = - \int_A \Delta \sigma y dA = - \sum_{n=1}^k (\Delta \varepsilon_k E_{kt} A_k y_k) = -EG_t^* \Delta \varepsilon_c + EI_t^* \Delta \phi \quad (2.49)$$

โดยที่

$$EA_t^* = EA_{ct}^* + EA_{st}^* = \sum_{k=1}^{NFC} (E_{kct} A_{kc}) + \sum_{k=1}^{NFS} (E_{kst} A_{ks}) \quad (2.50)$$

$$EG_t^* = EG_{ct}^* + EG_{st}^* = \sum_{k=1}^{NFC} (E_{kct} A_{kc} y_{kc}) + \sum_{k=1}^{NFS} (E_{kst} A_{ks} y_{ks}) \quad (2.51)$$

$$EI_t^* = EI_{ct}^* + EI_{st}^* = \sum_{k=1}^{NFC} (E_{kct} A_{kc} y_{kc}^2) + \sum_{k=1}^{NFS} (E_{kst} A_{ks} y_{ks}^2) \quad (2.52)$$

k เป็นจำนวนไฟเบอร์ทั้งหมดของหน้าตัด

NFC เป็นจำนวนไฟเบอร์ทั้งหมดของคอนกรีต

NFS เป็นจำนวนไฟเบอร์ทั้งหมดของเหล็กเสริม

A_{kc} เป็นพื้นที่หน้าตัดของไฟเบอร์คอนกรีต

A_{ks} เป็นพื้นที่หน้าตัดของไฟเบอร์เหล็กเสริม

E_{kct} เป็นค่าโมดูลัสยึดหยุ่นของคอนกรีต

E_{kst} เป็นค่าโมดูลัสยึดหยุ่นของเหล็กเสริม

y_{kc} เป็นระยะห่างของไฟเบอร์คอนกรีตที่วัดจากแนวแกนสะเทิน

y_{ks} เป็นระยะห่างของไฟเบอร์เหล็กเสริมที่วัดจากแนวแกนสะเทิน

แรงเฉือนที่เปลี่ยนไปจากขันก่อนหน้านี้หาได้จากสมการ

$$\Delta Q = -\frac{d \Delta M}{dx} \quad (2.53)$$

กำหนดให้

- $\Delta N_i = -\Delta N$ เป็นแรงตามแนวแกนที่เพิ่มขึ้นที่ปลาย i
 $\Delta N_j = \Delta N$ เป็นแรงตามแนวแกนที่เพิ่มขึ้นที่ปลาย j
 $\Delta Q_i = -\Delta Q$ เป็นแรงเฉือนที่เพิ่มขึ้นที่ปลาย i
 $\Delta Q_j = \Delta Q$ เป็นแรงเฉือนที่เพิ่มขึ้นที่ปลาย j
 $\Delta M_i = -\Delta Q \cdot \frac{L}{2} - \Delta M$ เป็นโมเมนต์ดัดที่เพิ่มขึ้นที่ปลาย i
 $\Delta M_j = -\Delta Q \cdot \frac{L}{2} + \Delta M$ เป็นโมเมนต์ดัดที่เพิ่มขึ้นที่ปลาย j

เมื่อรวมสมการทั้งหมดที่กล่าวมาแล้วให้อยู่ในรูปความสัมพันธ์ระหว่างแรงกับการเปลี่ยนตำแหน่งที่เปลี่ยนไปจากขั้นก่อนหน้านี้ของชิ้นส่วนอย่าง ทำให้สามารถหาสติฟเนสเมตริกซ์ของชิ้นส่วนอย่างได้ดังนี้

$$\{\Delta f\} = [k_t] \{\Delta u\} \quad (2.54)$$

โดยที่

$$\{\Delta u\} = \{\Delta u_i \quad \Delta v_i \quad \Delta \theta_i \quad \Delta u_j \quad \Delta v_j \quad \Delta \theta_j\}^T \quad (2.55)$$

$$\{\Delta f\} = \{\Delta N_i \quad \Delta Q_i \quad \Delta M_i \quad \Delta N_j \quad \Delta Q_j \quad \Delta M_j\}^T \quad (2.56)$$

และ

$$[k_t] = \begin{bmatrix} \frac{EA_t^*}{L} & 0 & -\frac{EG_t^*}{L} & -\frac{EA_t^*}{L} & 0 & \frac{EG_t^*}{L} \\ 0 & \frac{12EI_t^*}{L^3} & \frac{6EI_t^*}{L^2} & 0 & -\frac{12EI_t^*}{L^3} & \frac{6EI_t^*}{L^2} \\ -\frac{EG_t^*}{L} & \frac{6EI_t^*}{L^2} & \frac{4EI_t^*}{L} & \frac{EG_t^*}{L} & -\frac{6EI_t^*}{L^2} & \frac{2EI_t^*}{L} \\ -\frac{EA_t^*}{L} & 0 & \frac{EG_t^*}{L} & \frac{EA_t^*}{L} & 0 & -\frac{EG_t^*}{L} \\ 0 & -\frac{12EI_t^*}{L^3} & -\frac{6EI_t^*}{L^2} & 0 & \frac{12EI_t^*}{L^3} & -\frac{6EI_t^*}{L^2} \\ \frac{EG_t^*}{L} & \frac{6EI_t^*}{L^2} & \frac{2EI_t^*}{L} & -\frac{EG_t^*}{L} & -\frac{6EI_t^*}{L^2} & \frac{4EI_t^*}{L} \end{bmatrix} \quad (2.57)$$

ค่าของเมตริกซ์ของสติฟเนส $[k_t]$ มีค่าไม่คงที่ เนื่องจากเป็นการวิเคราะห์แบบไม่เชิงเส้น โดยค่าของสติฟเนสจะแปรเปลี่ยนตามแบบจำลองความสัมพันธ์ระหว่างความเด่นและความเครียดของคอนกรีตและเหล็กเสริมของชิ้นส่วนขององค์อาคาร

2.3.2 แบบจำลองความสัมพันธ์ระหว่างความเด่นและความเครียดของคอนกรีตและเหล็กเสริม

ในการจำลองพฤติกรรมไม่เชิงเส้นขององค์อาคาร โดยการแบ่งหน้าตัดคอนกรีตเสริมเหล็กออกเป็นส่วนย่อยซึ่งประกอบด้วย ส่วนของคอนกรีตที่อยู่ภายใต้แรงกดที่ไม่ได้รับการออบรัด (unconfined concrete) ส่วนของคอนกรีตที่อยู่ภายใต้แรงภายในเหล็กปลอกที่ได้รับการออบรัด (confined concrete) และเหล็กเสริม (reinforcement) และใช้ความสัมพันธ์ระหว่างความเด่นและความเครียดในการคำนวณ ซึ่งในงานวิจัยนี้จะใช้แบบจำลองคอนกรีตที่ไม่มีการออบรัดของ Kent และ Park (1971) แบบจำลองคอนกรีตที่มีการออบรัดของ Hoshikuma และคณะ (2001) และแบบจำลองเหล็กเสริมของ Menegotto และ Pinto (1973) ซึ่งสามารถแสดงสมการความสัมพันธ์ระหว่างความเด่นและความเครียดได้ดังนี้

1. คอนกรีตที่อยู่ภายใต้แรงกดที่ไม่มีการออบรัดของ Kent และ Park (1971) ซึ่งแสดงได้ในรูปที่ 2.10

สมการความสัมพันธ์ระหว่างความเด่นกับความเครียดสามารถแบ่งได้เป็น 2 ช่วงดังนี้

1. ช่วง AB ($\varepsilon_c \leq \varepsilon_o$)

$$f_c = f'_c \left[\frac{2\varepsilon_c}{\varepsilon_o} - \left(\frac{\varepsilon_c}{\varepsilon_o} \right)^2 \right] \quad (2.58)$$

2. ช่วง BC ($\varepsilon_c > \varepsilon_o$)

$$f_c = f'_c - Z_l (\varepsilon_c - \varepsilon_o) \quad \text{เมื่อ } \varepsilon_c < 0.004 \quad (2.59)$$

$$f_c = 0 \quad \text{เมื่อ } \varepsilon_c \geq 0.004 \quad (2.60)$$

โดยที่

$$Z_l = \frac{f'_c - 0.5 f'_c}{\varepsilon_{50u} - 0.002} \quad (2.61)$$

$$\varepsilon_{50u} = \frac{3 + 0.002 f'_c}{f'_c - 1000} \quad (2.62)$$

ε_o เป็นความเครียดของคอนกรีตที่กำลังสูงสุดมีค่าเท่ากับ 0.002

2. คอนกรีตที่อยู่ภายใต้แรงดึงหัก ใช้แบบจำลองของ Hoshikuma และ คณะ (2001) ซึ่งแสดงได้ในรูปที่ 2.11

สมการความสัมพันธ์ระหว่างความเดินและความเครียดแบ่งเป็น 2 ช่วงดังนี้

1. ช่วง AB: $\varepsilon_c \leq \varepsilon_{cc}$

$$f_c = E_c \varepsilon_c \left[1 - \frac{1}{n} \left(\frac{\varepsilon_c}{\varepsilon_{cc}} \right)^{n-1} \right] \quad (2.63)$$

2. ช่วง BC: $\varepsilon_{cc} < \varepsilon_c \leq \varepsilon_{cu}$

$$f_c = f_{cc} + E_{des} (\varepsilon_c - \varepsilon_{cc}) \quad (2.64)$$

โดยที่

$$n = \frac{E_c \varepsilon_{cc}}{E_c \varepsilon_{cc} - f_{cc}} \quad . \quad (2.65)$$

$$\varepsilon_{cu} = \varepsilon_{cc} + \frac{f_{cc}}{2E_{des}} \quad (2.66)$$

$$\frac{f_{cc}}{f_{co}} = 1 + 3.8\alpha \frac{\rho_s f_{yh}}{f_{co}} \quad (2.67)$$

$$\varepsilon_{cc} = 0.002 + 0.033\beta \frac{\rho_s f_{yh}}{f_{co}} \quad (2.68)$$

$$E_{des} = 11.2 \frac{f_{co}^2}{\rho_s f_{yh}} \quad (2.69)$$

f_c เป็นกำลังรับแรงอัดของคอนกรีต (MPa)

ε_{cc} เป็นความเครียดที่กำลังรับแรงอัดสูงสุด

f_{cc} เป็นกำลังรับแรงอัดสูงสุดของคอนกรีต (MPa)

f_{co} เป็นกำลังของคอนกรีตที่ไม่มีการออบรัծ (MPa)

E_c เป็นค่าโมดูลสยีดหยุ่น (MPa)

E_{des} เป็นอัตราการลดลงของกราฟในช่วง $\varepsilon_{cc} < \varepsilon_c \leq \varepsilon_{cu}$

ρ_s เป็นอัตราส่วนระหว่างปริมาตรของเหล็กเสริมต่อปริมาตรของคอนกรีตที่ได้รับการออบรัծโดยคิดจากเส้นรอบนอกของเหล็กเสริมทางขวา

f_{yh} เป็นกำลังที่จุดครากของเหล็กเสริมทางขวา

α, β เป็นพารามิเตอร์ที่ขึ้นอยู่กับลักษณะของหน้าตัดโดย หน้าตัดรูป平行กลมจะมีค่า $\alpha = 1$ และ $\beta = 1$ หน้าตัดรูปสี่เหลี่ยมจะมีค่า $\alpha = 0.2$ และ $\beta = 0.4$

3. เหล็กเสริมตามยาง ใช้แบบจำลองของ Menegotto และ Pinto (1973) ซึ่งแสดงได้ในรูปที่ 2.12

สมการความสัมพันธ์ระหว่างความเค้นและความเครียดแสดงได้ดังสมการ

$$\sigma_s^* = b\epsilon_s^* + \frac{(1-b)\epsilon_s^*}{\left(1 + (\epsilon_s^*)^R\right)^{\frac{1}{R}}} \quad (2.70)$$

โดยที่

$$\epsilon_s^* = \frac{\epsilon_s - \epsilon_{sa}}{\epsilon_{s1} - \epsilon_{sa}}, \quad \sigma_s^* = \frac{\sigma_s - \sigma_{sa}}{\sigma_{s1} - \sigma_{sa}} \quad (2.71)$$

$\sigma_{s1}, \epsilon_{s1}$ เป็นความเค้นและความเครียดที่จุดตัดของเส้นกรอบ (envelope line)
ในช่วงอิลาสติก

$\sigma_{sa}, \epsilon_{sa}$ เป็นความเค้นและความเครียดที่ตำแหน่งเมื่อให้แรงกระทำกลับข้าง

$b = \frac{E_{s1}}{E_s}$ เป็นอัตราส่วนระหว่างค่าสติฟเนสในช่วงของการแข็งตัวเพิ่มขึ้นต่อ
ค่าโมดูลัสยืดหยุ่นสัมผัสในช่วงอิลาสติก

R เป็นค่าพารามิเตอร์ที่มีผลต่อส่วนโค้งของเส้นกราฟ (Bauschinger effect)

$$\text{มีค่าเท่ากับ } R_0 - \frac{a_1 \xi}{a_2 + \xi}$$

ξ เป็นค่าความเครียดที่จุดพลาสติก (plastic strain)

R_0, a_1, a_2 เป็นค่าคงที่ของวัสดุ

2.4 การวิเคราะห์โมเมนต์ตัดและความโค้งของหน้าตัดชิ้นส่วนอาคารคอนกรีตเสริมเหล็ก

ในการวิเคราะห์หากำลังต้านทานโมเมนต์ตัดและความเสียหายของชิ้นส่วนอาคาร
คอนกรีตเสริมเหล็ก ความสัมพันธ์ระหว่างแรงกับการเปลี่ยนรูปของชิ้นส่วนอาคารมีความ
จำเป็น เนื่องจากจะทำให้สามารถวิเคราะห์พฤติกรรมของโครงสร้าง โดยเฉพาะพฤติกรรมในช่วง
ไม่ยึดหยุ่นที่ค่าสติฟเนสมีการเปลี่ยนแปลงไปเมื่อชิ้นส่วนอาคารเกิดความเสียหาย สำหรับ
ความสัมพันธ์ระหว่างแรงกับการเปลี่ยนตำแหน่งจะพิจารณาในรูปความสัมพันธ์ระหว่างโมเมนต์
ตัดและความโค้งของหน้าตัด (Moment-curvature relationship) การวิเคราะห์สามารถทำได้โดย
การแบ่งหน้าตัดคอนกรีตเสริมเหล็กออกเป็นส่วนย่อยๆ จากนั้นจะเพิ่มค่าความโค้งให้กับหน้าตัด
แล้วพิจารณาความสอดคล้องของความเครียด (strain compatibility) โดยสมมติให้การกระจาย
ความเครียดบนหน้าตัดเป็นเส้นตรง เมื่อทราบความเครียดก็สามารถหาความเค้นที่เกิดขึ้นได้จาก
ความสัมพันธ์ระหว่างความเค้นกับความเครียดของคอนกรีตและเหล็กเสริม จากนั้นพิจารณา
สมดุลของหน้าตัดแล้วคำนวนหาค่าโมเมนต์ตัด สำหรับงานวิจัยนี้จะใช้โปรแกรมคอมพิวเตอร์

XTRACT (XTRACT 2002) ในการวิเคราะห์ โดยใช้แบบจำลองคอนกรีตที่ไม่มีการออบรัดของ Kent และ Park (1971) แบบจำลองคอนกรีตที่มีการออบรัดของ Hoshikuma และคณะ (2001) และแบบจำลองเหล็กเสริมที่ความสัมพันธ์เป็นแบบเส้นตรงสองเส้น (bilinear)

สำหรับการวิเคราะห์ความเสียหายของชิ้นส่วนอาคารคอนกรีตเสริมเหล็กในงานวิจัยนี้ จะพิจารณาจากความสัมพันธ์ระหว่างโมเมนต์ดัดและความโค้งของหน้าตัด ดังแสดงได้ในรูปที่ 2.13 โดยการเปรียบเทียบโมเมนต์ดัดและความโค้งของชิ้นส่วนอาคารที่ได้จากการวิเคราะห์โครงสร้าง กับ กำลังต้านทานโมเมนต์ดัดและความโค้งที่ได้จากการวิเคราะห์หน้าตัดดังที่ได้กล่าวไปแล้ว โดยใช้โปรแกรม XTRACT ที่สภาวะต่างๆ กันคือ

1. ในสภาวะที่เหล็กเสริมด้านรับแรงดึงมีค่าความเดันถึงจุดคราก หรือเมื่อ ณ จุดที่ผิวนอก สุดของคอนกรีตด้านรับแรงอัด มีค่าความเครียดเท่ากับ $0.002 \text{ ซึ่งแทนด้วยค่าโมเมนต์ดัดที่จุดคราก } M_y \text{ (yielding moment) และความโค้งที่จุดคราก } c_y \text{ (yielding curvature)}$
2. ในสภาวะที่คอนกรีตที่ผิวนอกสุดด้านรับแรงอัดมีค่าความเดันเท่ากับ 20% ของกำลังรับแรงอัดสูงสุดของคอนกรีต ซึ่งแทนด้วยค่าโมเมนต์ดัดที่จุดประลัย $M_u \text{ (ultimate moment)}$ และความโค้งที่จุดประลัย $c_u \text{ (ultimate curvature)}$

2.5 การวิเคราะห์หากำลังต้านทานแรงเฉือนของหน้าตัดคานและเสา

1. สำหรับเสาได้ใช้การวิเคราะห์กำลังต้านทานแรงเฉือนตาม ATC-40 (1996) ดังนี้

$$V_c = 0.29\lambda \left(k + \frac{N}{14Ag} \right) \sqrt{f'_c} bd \quad (2.72)$$

โดยที่

V_c เป็นแรงเฉือนของคอนกรีต (MN)

f'_c เป็นกำลังรับแรงอัดสูงสุดของคอนกรีต (MPa)

$\lambda = 0.75$ สำหรับ lightweight aggregate concrete

= 1 สำหรับ normal-weight aggregate concrete

$k = 1$ สำหรับพื้นที่ที่มีความหนาแน่นต่ำ

= 0 สำหรับพื้นที่ที่มีความหนาแน่นปานกลางและสูง

N เป็นแรงตามแนวแกนในเสา (MN)

b เป็นความกว้างของหน้าตัดเสา (m)

d เป็นความลึกประสิทธิผลของหน้าตัดเสา (m)

$$\text{และ } V_s = \frac{A_v f_y d}{0.6s} \quad (2.73)$$

โดยที่

V_s เป็นแรงเฉือนของเหล็กเสริมทางขวาง (MN)

f_y เป็นกำลังรับแรงดึงที่จุดครากของเหล็กเสริม (MPa)

A_v เป็นพื้นที่หน้าตัดของเหล็กเสริมทางขวาง (m^2)

s เป็นระยะห่างของเหล็กเสริมทางขวาง (m)

d เป็นความลึกประสิทธิผลของหน้าตัดเสา (m)

2. สำหรับคานได้ใช้การวิเคราะห์กำลังต้านทานแรงเฉือนตามของ Paulay และ Priestley (1992) ดังนี้

$$V_c = (0.07 + 10\rho) \sqrt{f'_c bd} \leq 0.2 \sqrt{f'_c bd} \quad (2.74)$$

โดยที่

V_c เป็นแรงเฉือนของคอนกรีต (MN)

f'_c เป็นกำลังรับแรงอัดสูงสุดของคอนกรีต (MPa)

ρ เป็นอัตราส่วนของปริมาตรเหล็กปลอกต่อปริมาตรคอนกรีต

b เป็นความกว้างของหน้าตัดคาน (m)

d เป็นความลึกประสิทธิผลของหน้าตัดคาน (m)

$$\text{และ } V_s = \frac{A_v f_y d}{s} \quad (2.75)$$

โดยที่

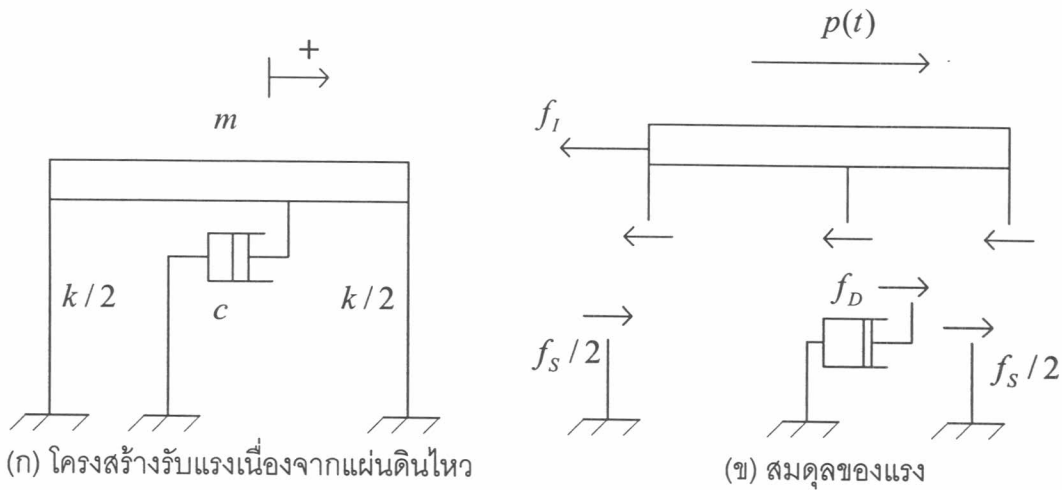
V_s เป็นแรงเฉือนของเหล็กเสริมทางขวาง (MN)

f_y เป็นกำลังรับแรงดึงที่จุดครากของเหล็กเสริม (MPa)

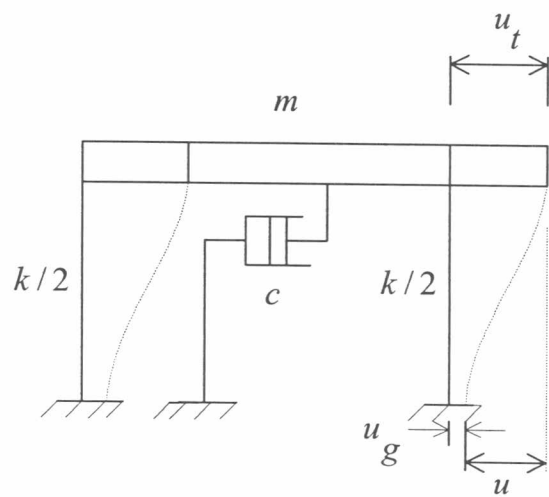
A_v เป็นพื้นที่หน้าตัดของเหล็กเสริมทางขวาง (m^2)

s เป็นระยะห่างของเหล็กเสริมทางขวาง (m)

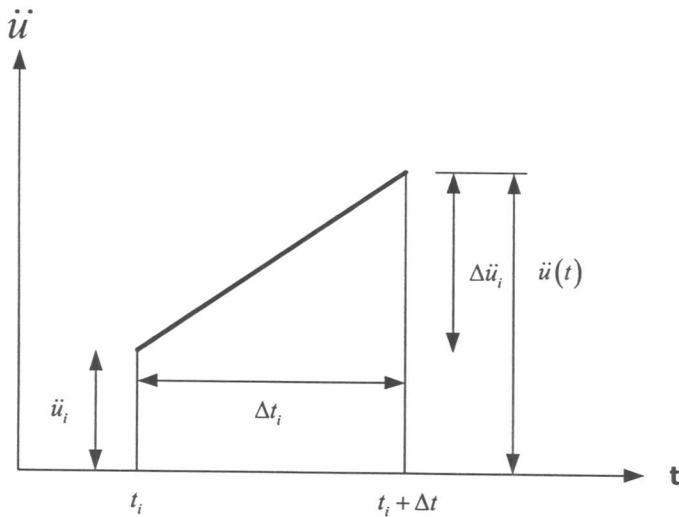
d เป็นความลึกประสิทธิผลของหน้าตัดคาน (m)



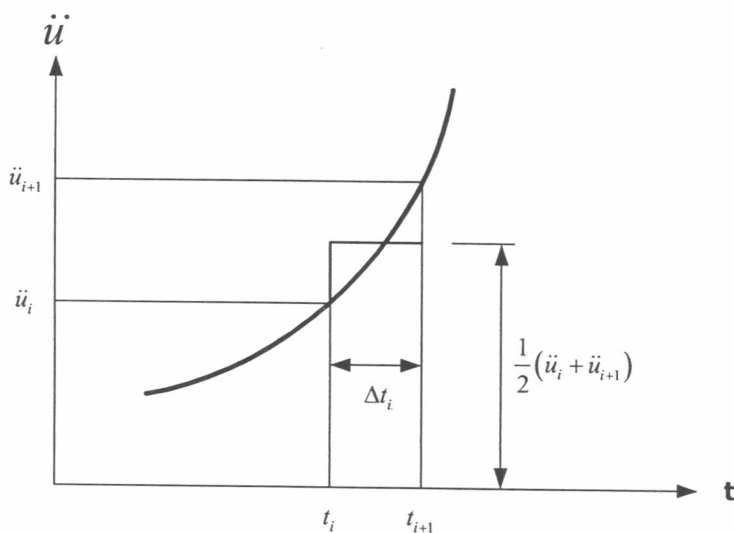
รูปที่ 2.1 แบบจำลองโครงสร้างที่มีระดับขั้นความเสี่ยงเดียว



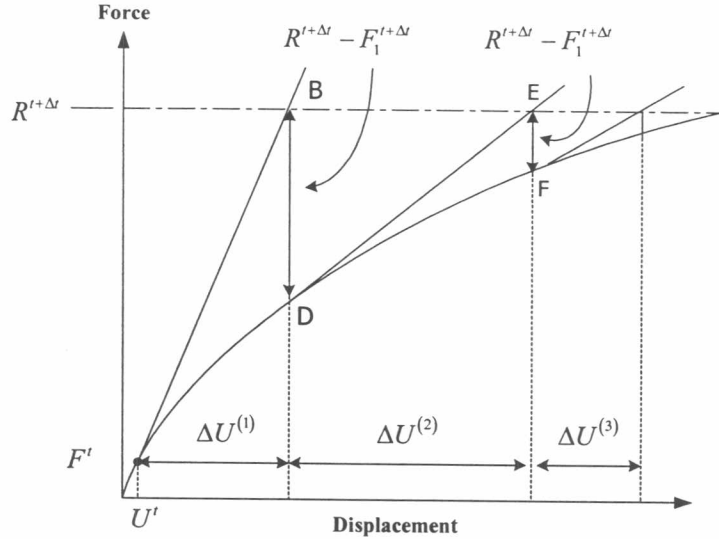
รูปที่ 2.2 ความสัมพันธ์ของการเคลื่อนที่หัวหนามดับเบิลกับการเคลื่อนที่ของพื้นดินและการเคลื่อนที่สัมพัทธ์



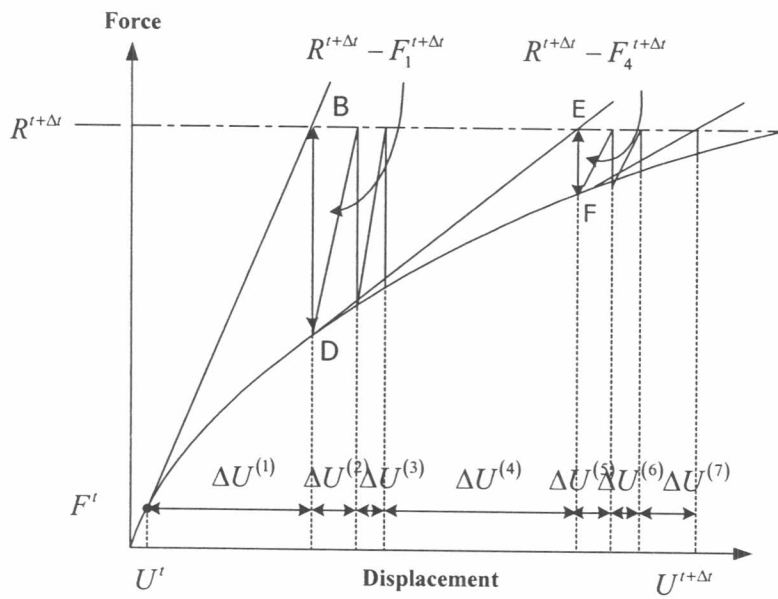
รูปที่ 2.3 ความสัมพันธ์ระหว่างความเร่งของการเคลื่อนที่ในช่วงเวลา Δt โดยสมมติให้แปรผันเป็นเส้นตรง (Linear acceleration method)



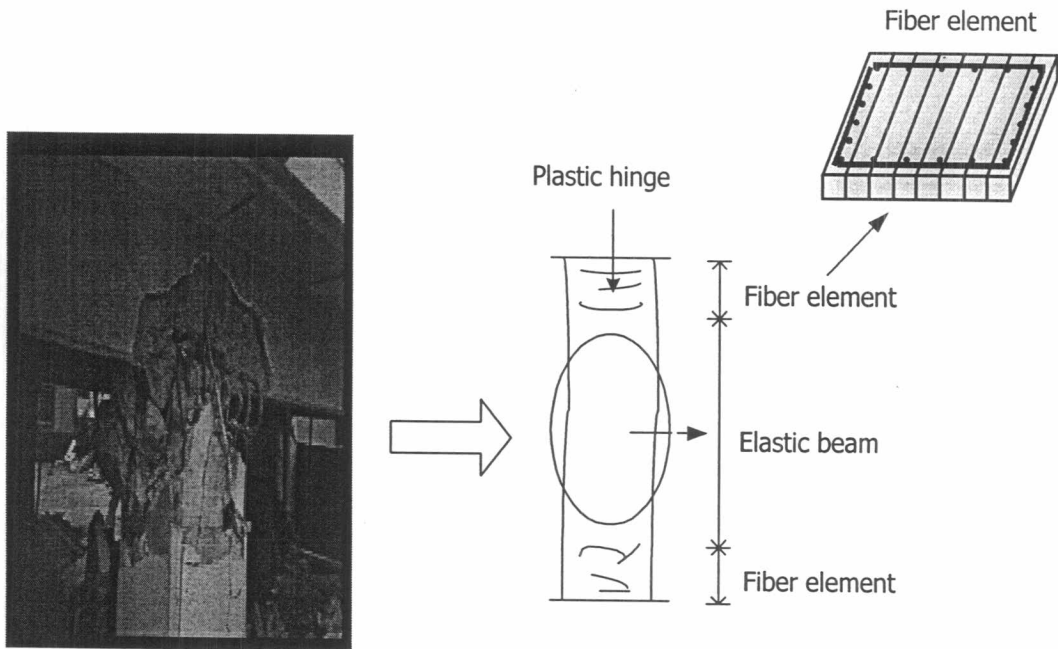
รูปที่ 2.4 ความสัมพันธ์ระหว่างความเร่งของการเคลื่อนที่ในช่วงเวลา Δt โดยสมมติให้ความเร่งมีค่าคงที่ (Constant acceleration method)



ຮັບສິນ 2.5(ນ) ວິທີ Full Newton-Raphson iteration

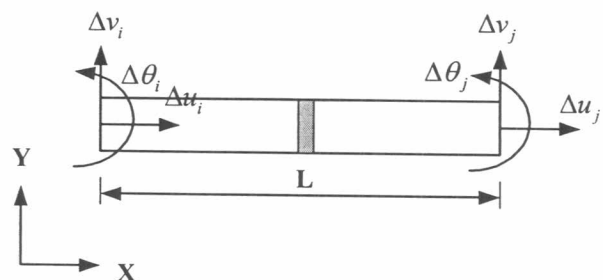


ຮັບສິນ 2.5(ໜ) ວິທີ Modified Newton-Raphson iteration

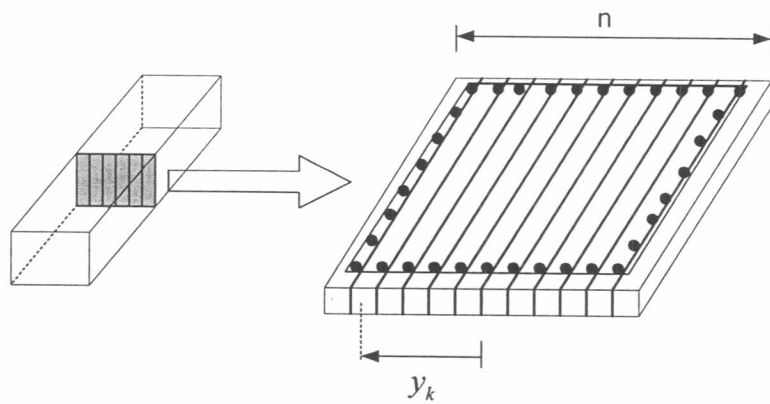


(มาจาก Easy Earthquake Engineering Shade Information System)

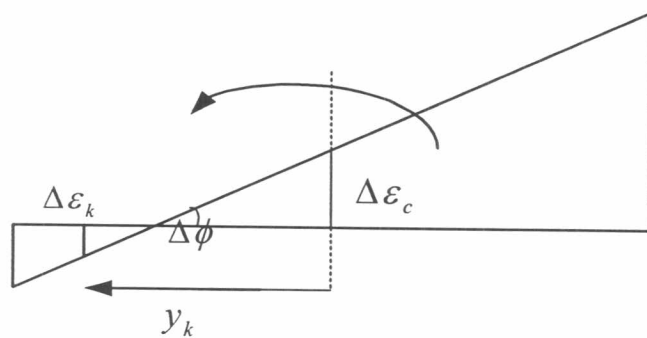
รูปที่ 2.6 การจำลองชิ้นส่วนของโครงสร้าง



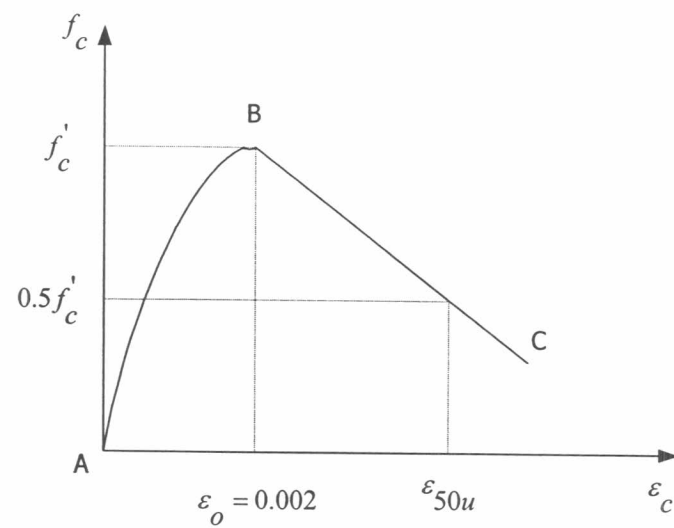
รูปที่ 2.7 ดีกรีของความอิสระสำหรับชิ้นส่วนย่อยของโครงสร้าง



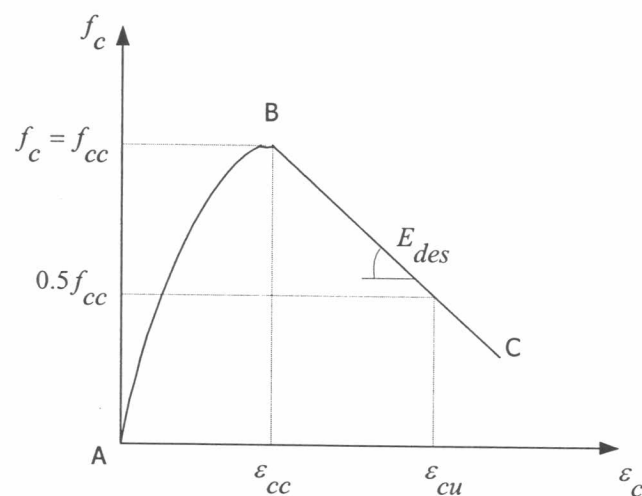
รูปที่ 2.8 แบบจำลองไฟเบอร์



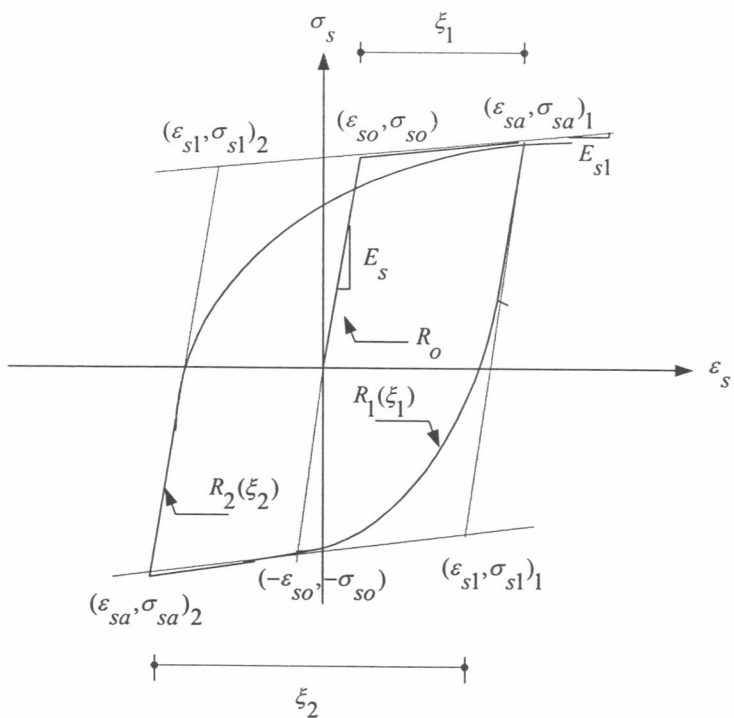
รูปที่ 2.9 รายละเอียดของหน้าตัดที่ใช้เคราะห์ด้วยแบบจำลองไฟเบอร์



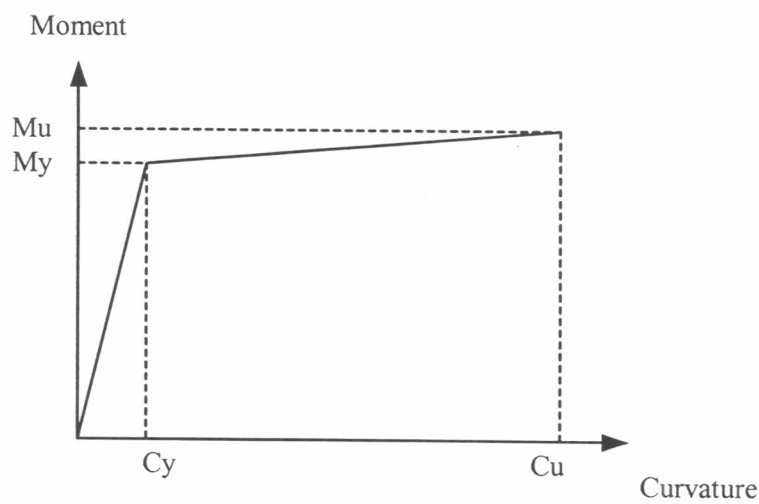
รูปที่ 2.10 ความสัมพันธ์ระหว่างความเค้นและความเครียดของคอนกรีตที่ไม่มีการโอบรัด



รูปที่ 2.11 ความสัมพันธ์ระหว่างความเค้นกับความเครียดของคอนกรีตที่มีการโอบรัด



รูปที่ 2.12 ความสัมพันธ์ระหว่างความเค้นกับความเครียดของเหล็กเสริมภายใต้แรงกระทำแบบเป็นวัฏจักร



รูปที่ 2.13 ความสัมพันธ์ระหว่างโมเมนต์ดัดและความโค้ง